

## بررسی وضعیت متیلاسیون ژن‌های SFRP۱ و SFRP۲ در بیماران مبتلا به لوسمی میلویدی حاد در زمان تشخیص

علی قاسمی<sup>۱</sup>، دکتر شهربانو رستمی<sup>۲</sup>، نسرين عليزاد قندفروش<sup>۱</sup>، عباس قوطاسلو<sup>۱</sup>،  
صادق عباسیان<sup>۱</sup>، دکتر فاطمه نادعلی<sup>۳</sup>

### مقاله پژوهشی

### چکیده

**مقدمه:** لوسمی میلویدی حاد (Acute myeloid leukemia یا AML) گروه هتروژنی از بدخیمی‌های هماتولوژیک می‌باشند که عوامل زیادی در پاتوژنز آن‌ها دخیل هستند. متیلاسیون DNA در نواحی CpG (Cytosine-phosphate-guanine) پرموتور بعضی از ژن‌ها نقش مهمی در شروع و پیشرفت تومورها دارد. پروتئین‌های SFRP (Secreted frizzled-related protein)، تنظیم‌کننده‌های منفی مسیر سیگنالینگ Wnt می‌باشند. در مطالعه‌ی حاضر، وضعیت متیلاسیون ژن‌های SFRP۱ و SFRP۲ در بیماران AML تازه تشخیص داده شده و افراد سالم مورد بررسی قرار گرفته است.

**روش‌ها:** نمونه‌ی خون محیطی ۴۳ بیمار AML در زمان تشخیص و ۲۵ فرد طبیعی به عنوان شاهد جهت بررسی وضعیت متیلاسیون دو ژن SFRP۱ و SFRP۲ مورد بررسی قرار گرفت. برای بررسی وضعیت متیلاسیون ژن‌های SFRP۱ و SFRP۲ از تکنیک MSP (Methylation specific- Polymerase chain reaction یا Methylation specific- PCR) استفاده شد. از آزمون Mann-Whitney U برای بررسی ارتباط بین هایپرمتیلاسیون ژن‌های SFRP۱ و SFRP۲ با رانترهای بالینی بیماران استفاده شد.

**یافته‌ها:** برای ژن SFRP۱ در افراد بیمار از ۴۳ نمونه ۱۳ مورد (۳۰/۲ درصد) و برای ژن SFRP۲ از ۴۳ نمونه ۹ مورد (۲۰/۹) هایپرمتیله بود. در هیچ کدام از نمونه‌های شاهد که مربوط به افراد سالم بودند، متیلاسیون این دو ژن مشاهده نشد. بیشترین هایپرمتیلاسیون SFRP۱ ( $P = ۰/۰۲۸$ ) و SFRP۲ ( $P = ۰/۰۰۴$ ) در زیر گروه M۰ مشاهده شد.

**نتیجه‌گیری:** متیلاسیون ژن‌های SFRP۱ و SFRP۲ همانند بسیاری از سرطان‌های تهاجمی در بیماران مبتلا به AML نیز دیده می‌شود. از این رو احتمال می‌رود که متیلاسیون این ژن‌ها در شروع بیماری نقش داشته باشد.

**واژگان کلیدی:** لوسمی حاد میلو بلاستیک، SFRP، متیلاسیون DNA

**ارجاع:** قاسمی علی، رستمی شهربانو، علیزاد قندفروش نسرين، قوطاسلو عباس، عباسیان صادق، نادعلی فاطمه. بررسی وضعیت متیلاسیون ژن‌های SFRP۱ و SFRP۲ در بیماران مبتلا به لوسمی میلویدی حاد در زمان تشخیص. مجله دانشکده پزشکی اصفهان ۱۳۹۳؛ ۳۲ (۲۸۶): ۱-۳

۱- دانشجوی کارشناسی ارشد، گروه هماتولوژی، دانشکده‌ی پیراپزشکی، دانشگاه علوم پزشکی تهران، تهران، ایران

۲- مرکز تحقیقات خون، انکولوژی و پیوند سلول‌های بنیادی، دانشگاه علوم پزشکی تهران، تهران، ایران

۳- دانشیار، گروه هماتولوژی، دانشکده‌ی پیراپزشکی، دانشگاه علوم پزشکی تهران، تهران، ایران

Email: f-nadali@sina.tums.ac.ir

نویسنده‌ی مسؤول: دکتر فاطمه نادعلی

## مقدمه

لوسمی میلویدی حاد (AML یا Acute myeloid leukemia) یک اختلال کلونال سلول‌های بنیادی است که با تکثیر کنترل نشده‌ی سلول‌های بنیادی خون‌ساز، توقف بلوغ سلول‌ها در سطح بلاست و ارتشاح بلاست‌ها در خون محیطی و مغز استخوان همراه می‌باشد (۱). سلول‌های بنیادی خون‌ساز در حالت طبیعی دارای توانایی خودنوسازی (Self-renewal) و تمایز به رده‌های مختلف سلولی می‌باشند. بروز برخی از ناهنجاری‌ها از جمله تغییرات ژنتیکی و جابه‌جایی‌های کروموزومی در پاتوژنز AML مشخص شده است. AML مسئول ۳۰ درصد از تمام لوسمی‌ها در بزرگسالان است و شایع‌ترین نوع لوسمی حاد در طی چند ماه اول زندگی و در بزرگسالان می‌باشد (۲).

پیشرفت‌ها در تحقیقات مولکولی، درک ما را از لوکموژنز AML بسیار بهبود بخشیده است. علاوه بر عوامل خطر مرسوم مانند سن، شمارش گلبول‌های سفید و سیتوژنتیک، تغییرات ژنتیکی مولکولی مانند موتاسیون‌های ژن‌های NPM1، FLT3 و WT-1 نیز از جمله عوامل پیش‌آگهی دهنده‌ی مهم در بیماران مبتلا به AML می‌باشند. در سال‌های اخیر، نقش ناهنجاری‌های اپی‌ژنتیکی مانند متیلاسیون پروموتور ژن‌های سرکوب‌کننده‌ی تومور از جمله خانواده‌ی ژن‌های SFRP (Secreted frizzled related protein) در پاتوژنز سرطان‌ها نشان داده شده است؛ به طوری که این ناهنجاری‌ها می‌توانند در افزایش تکثیر و خودنوسازی، توقف تمایز و آپوپتوز بلاست‌های لوسمیک نقش داشته باشند (۳).

SFRP به عنوان آنتاگونیست مسیر سیگنال‌دهی

Wnt عمل می‌کند و در افراد سالم، مانع از فعال شدن این مسیر سیگنالی می‌گردد. مسیر سیگنال‌دهی Wnt در تنظیم فرایندهایی مانند تقسیم و تمایز سلولی نقش دارد. در بعضی از سرطان‌ها از جمله سرطان کولورکتال، سرطان سر و گردن و سرطان معده، این مسیر سیگنالی از حالت عملکرد طبیعی خودش خارج می‌گردد و باعث می‌شود تا سلول‌ها به مقدار زیادی تکثیر یابند و سبب ایجاد سرطان شوند (۴). اولین بدخیمی هماتولوژیک که نقص مسیر پیام‌دهی Wnt در آن گزارش شد، CML (Chronic myeloid leukaemia) بود (۵).

بتا کاتین یک تنظیم‌کننده‌ی رونویسی درون سلول‌ها می‌باشد که نقش مهمی در سرطان‌ها دارد. کنترل مقدار بتا کاتین و پایداری آن، یکی از مهم‌ترین وظایف مسیر سیگنال‌دهی Wnt می‌باشد (۶). در شرایط عدم حضور لیگاند Wnt، مقدار بتا کاتین درون سیتوپلاسم کاهش می‌یابد که علت آن تخریب شدن بتا کاتین به وسیله‌ی کازئین کیناز ۱ و گلیکوژن سنتاز کیناز ۳ می‌باشد (۷)؛ اما در شرایطی که لیگاند به گیرنده‌ی فریذلد متصل می‌شود، بتا کاتین به گیرنده‌ی متصل می‌یابد، باعث فعال شدن پروتئین‌هایی به نام DV1 (Dishevelled) می‌شود (۸).

با افزایش مقدار سیتوپلاسمی بتا کاتین و انتقال آن به درون هسته، بیان ژن‌های دخیل در تقسیم و تمایز سلولی افزایش می‌یابد (۹، ۴). متیله شدن ژن SFRP سبب می‌شود تا نقش مهارتی آن از روی مسیر سیگنال‌دهی Wnt برداشته شود که در پی آن، مقدار سیتوپلاسمی بتا کاتین افزایش می‌یابد و با انتقال به هسته، به عنوان یک عامل رونویسی باعث افزایش بیان ژن‌هایی مانند MYC و سیکلین D می‌شود که در

نمونه‌گیری، سلول‌های تک هسته‌ای شامل بلاست‌های لوسمیک به وسیله‌ی سدیم‌تتاسیون گرادیان غلظت با استفاده از Ficoll-hypaque جدا شدند. سپس DNA با روش استاندارد نمک اشباع استخراج شد (۱۱).

در مرحله‌ی بعد، DNA به وسیله کیت (EpiTect Bisulfite Kit, Qiagen) و بر اساس پروتکل شرکت سازنده تیمار شد. بعد از این تیمار، سیتوزین‌های غیر متیله به یوراسیل تبدیل می‌شوند، در حالی که سیتوزین‌های متیله بدون تغییر باقی می‌مانند. سپس وضعیت متیلاسیون ژن‌های SFRP<sub>۱</sub> و SFRP<sub>۲</sub> به وسیله‌ی تکنیک MSP (Methylation specific-PCR) (Methylation specific- Polymerase chain reaction) بررسی شد. MSP یک نوع تکنیک PCR است که برای بررسی وضعیت متیلاسیون جزایر CpG می‌شود. در این روش از دو جفت پرایمر که مختص بررسی وضعیت متیله و غیر متیله است، استفاده می‌شود. توالی‌های پرایمر برای بررسی وضعیت متیله و غیر متیله در این مطالعه، به همراه اندازه‌ی محصول در جدول ۱ آمده است. توالی این پرایمرها در مطالعات قبلی طراحی شده‌اند (۱۲-۱۳).

تنظیم چرخه‌ی سلول نقش دارند (۱۰). از آن جایی که متیلاسیون این ژن‌ها ممکن است در شروع بیماری و لوکموژنز AML نقش داشته باشد، در مطالعه‌ی حاضر وضعیت متیلاسیون پروموتور ژن‌های SFRP<sub>۱</sub> و SFRP<sub>۲</sub> در بیماران مبتلا به AML تازه تشخیص داده شده که به مرکز تحقیقات هماتولوژی، انکولوژی و پیوند مغز استخوان بیمارستان دکتر شریعتی تهران مراجعه کرده بودند، مورد بررسی قرار گرفت.

از ۲۵ فرد طبیعی به عنوان شاهد منفی و ۴۳ بیمار که ابتلای آن‌ها به AML به تازگی تشخیص داده شده بود و به مرکز تحقیقات هماتولوژی، انکولوژی و پیوند مغز استخوان بیمارستان دکتر شریعتی مراجعه کرده بودند، نمونه‌ی خون محیطی گرفته شد. بیماران بر اساس گروه‌بندی FAB (French-American-British) طبقه‌بندی شدند. اطلاعات بالینی بیماران شامل شمارش گلبول‌های سفید، پلاکت، سن، غلظت هموگلوبین و میزان بهبودی کامل بعد از شیمی درمانی القایی، از پرونده‌های پزشکی بیماران به دست آمد. بعد از

جدول ۱. توالی پرایمرها

توالی	اندازه‌ی محصول (bp)	دمای التهاب	پرایمر
TGTAGTTTTTCGGAGTTAGTGTGCGCGC	۱۲۶	۶۲	SFRP <sub>۱</sub> MF
CCTACGATCGAAAACGACGCGAACG			MR\ SFRP
GTTTTGTAGTTTTTGGAGTTAGTGTGTGT	۱۳۵	۵۴	UF\ SFRP
CTCAACCTACAATCAAAAACAACACAAACA			UR\ SFRP
GGGTCCGAGTTTTTCGGAGTTGCGC	۱۳۸	۶۲	MF+ SFRP
CCGCTCTCTTCGCTAAATACGACTCG			MR+ SFRP
TTTTGGGTTGGAGTTTTTGGAGTTGTGT	۱۴۵	۶۴	UR+ SFRP
AACCCACTCTTCTACTAAATACAACCTCA			UR+ SFRP

M: Methylated; U: Unmethylated; F: Forward; R: Reverse

ژن‌های SFRP۱ و SFRP۲ با پارامترهای بالینی بیماران، از آزمون‌های Fisher's exact و Mann-Whitney استفاده شد. همه‌ی داده‌های جمع‌آوری شده توسط نرم‌افزار SPSS نسخه‌ی ۲۱ (version 21, SPSS Inc., Chicago, IL) آنالیز شد.  $P < 0/05$  از نظر آماری معنی‌دار در نظر گرفته شد.

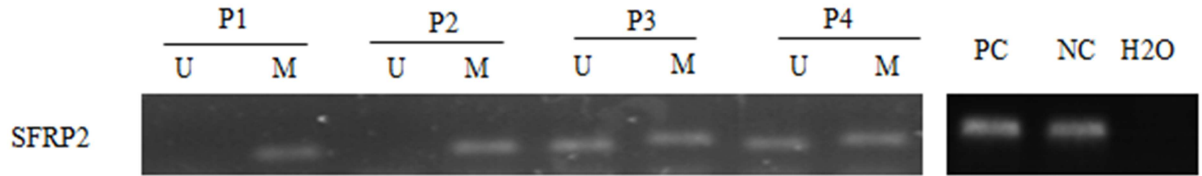
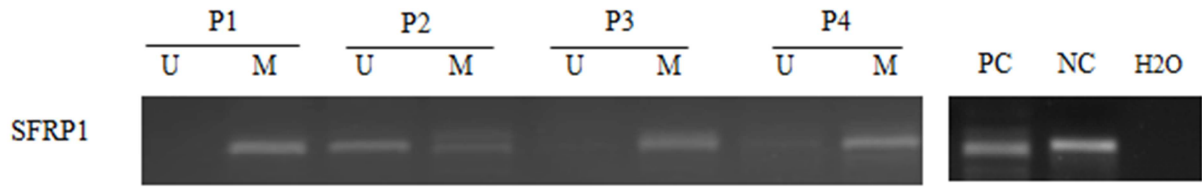
### یافته‌ها

از ۴۳ بیمار مورد مطالعه، ۳۱ نفر (۷۲/۱ درصد) مرد و ۱۲ نفر (۲۷/۹ درصد) زن بودند. محدوده‌ی سنی بیماران بین ۷۲-۱۵ سال و میانگین سنی آن‌ها ۴۵/۴ سال بود. شمارش گلبول‌های سفید و پلاکت‌ها به ترتیب در طیف ۱۴۵۰۰۰-۶۰۰، ۲۸۰۰۰۰-۲۰۰۰ و میانگین آن‌ها به ترتیب ۲۷۸۱۸/۵ و ۹۸۶۳۳/۳ سلول میکرولیتر بود. همچنین طیف غلظت هموگلوبین در این بیماران ۱۴/۸-۶ و میانگین آن ۹/۶ گرم درصد بود. برای ژن SFRP۱ در افراد بیمار از ۴۳ نمونه، ۱۳ مورد (۳۰/۲ درصد) به طور کامل متیله و ۱۷ مورد (۳۹/۵ درصد) به طور کامل غیر متیله بودند.

همچنین برای ژن SFRP۲ از ۴۳ نمونه، ۱۶ نمونه (۳۷/۲ درصد) به صورت همی متیله، ۹ نمونه (۲۰/۹ درصد) به طور کامل متیله و ۱۸ مورد (۴۱/۸ درصد) به طور کامل غیر متیله بودند (شکل ۱). در هیچ کدام از نمونه‌های شاهد که مربوط به افراد سالم بودند، متیلاسیون این دو ژن مشاهده نشد. ارتباط بین هایپرمتیلاسیون پروموتور ژن‌های SFRP۱ و SFRP۲ با علایم بالینی و آزمایشگاهی بیماران در جدول ۲ آمده است.

در واکنش MSP برای هر بیمار ۴ واکنش با پرایمرهای متیله و غیر متیله مربوط به ژن‌های SFRP۱ و SFRP۲ گذاشته شد. برای بررسی وضعیت متیله از ۲ میکرولیتر DNA که از قبل به وسیله‌ی بیسولفیت تیمار شد و ۴/۵ میکرولیتر H<sub>2</sub>O، ۱۲/۵ میکرولیتر Master mix، ۰/۵ میکرولیتر پرایمر Forward، ۰/۵ میکرولیتر پرایمر Reverse و برای بررسی وضعیت غیر متیله از ۲ میکرولیتر DNA و ۸/۵ میکرولیتر H<sub>2</sub>O، ۱۲/۵ میکرولیتر Master mix، ۰/۵ میکرولیتر پرایمر Forward، ۰/۵ میکرولیتر پرایمر Reverse به همراه ۱ میکرولیتر MgCl<sub>2</sub> استفاده شد. ابتدا اجزای واکنش MSP تحت شرایط پیش دمایی که شامل ۹۸ °C به مدت ۱ دقیقه و ۹۶ °C به مدت ۳ دقیقه بود قرار گرفت و سپس این واکنش به وسیله‌ی ۲۰ سیکل شامل ۹۹ °C برای ۱۰ ثانیه، ۹۷ °C برای ۲۰ ثانیه، ۵۴ °C برای ۳۰ ثانیه (SFRP۱-UM Primer)، ۶۴ °C برای ۳۰ ثانیه (SFRP۲-UM Primer)، ۶۲ °C برای ۳۰ ثانیه (SFRP۱,۲-M Primer) و ۷۲ °C برای ۷ دقیقه (Extention) ادامه یافت.

در این آزمایش، از کیت تجاری EpiTect PCR control DNA (Qiagen Inc., cat no. ۵۹۶۹۵) که حاوی DNA غیر متیله و DNA متیله بود، به ترتیب به عنوان شاهد منفی و شاهد مثبت استفاده شد. جهت تأیید محصول MSP، الکتروفورز روی ژل آگاروز ۲/۵ درصد انجام گرفت. تمام بیماران با رژیم درمانی ۳ + ۷ تحت شیمی درمانی القایی قرار گرفتند. طول مدت درمان برای القای بهبودی کامل در بیماران AML ۲۵-۳۵ روز بود. برای بررسی ارتباط بین متیلاسیون



شکل ۱. وضعیت متیلاسیون پرموتور ژنهای ۱ SFRP و ۲ SFRP در تعدادی از بیماران مبتلا به AML. شاهد مثبت: PC، شاهد منفی: NC، بیمار: P، متیله: M، غیر متیله: U. از H<sub>2</sub>O نیز به عنوان شاهد منفی واکنش MSP استفاده شد.

جدول ۲. ارتباط بین هایپرمتیلاسیون پرموتور ژنهای ۱ SFRP و ۲ SFRP با علائم بالینی و آزمایشگاهی بیماران

ویژگی‌ها	SFRP۲		SFRP۱		مقدار P
	U	M	U	M	
تعداد بیماران (درصد)	۳۴ (۷۹/۱)	۹ (۲۰/۹)	۳۰ (۶۹/۷)	۱۳ (۳۰/۲)	۰/۳۱۹
سن میانگین (محدوده) (سال)	۵۷ (۱۵-۷۲)	۴۶ (۲۴-۷۰)	۳۹/۶ (۱۵-۶۰)	۴۵/۴ (۲۳-۶۰)	۰/۶۵۱
جنس					
مرد	۲۵	۶	۲۱	۱۰	
زن	۹	۳	۹	۳	
متوسط تعداد گلبول سفید ۱۰ <sup>۹</sup> /L	۱۴/۴	۶۶/۱	۳۱/۷	۱۵/۷	۰/۱۸۲
متوسط تعداد پلاکت ۱۰ <sup>۹</sup> /L	۱۱۸	۸۹	۹۵/۶	۱۰۵/۲	۰/۴۰۸
متوسط میزان هموگلوبین g/dL	۹/۹	۸/۹	۹/۹	۸/۹	۰/۰۹۶
نوع FAB تعداد (درصد)					
M۰	۰	۲ (۲۲/۲)	۰	۲ (۱۵/۳)	۰/۰۰۴
M۱	۷ (۲۰/۵)	۰	۵ (۱۶/۶)	۲ (۱۵/۳)	۰/۶۴۶
M۲	۹ (۲۶/۴)	۳ (۳۳/۳)	۸ (۲۶/۶)	۴ (۳۰/۷)	۰/۲۲۳
M۴	۸ (۲۳/۵)	۲ (۲۲/۲)	۸ (۲۶/۶)	۲ (۱۵/۳)	۰/۹۳۶
M۵	۸ (۲۳/۵)	۲ (۲۲/۲)	۴ (۱۳/۳)	۲ (۱۵/۳)	۰/۹۳۶
M۶	۲ (۵/۸)	۰	۲ (۶/۶۶)	۰	۰/۴۶۸
طبقه‌بندی نشده	۴ (۱۱/۷)	۰	۳ (۱۰)	۱ (۷/۶)	۰/۲۹۱
نتایج تعداد (درصد)					
بهبودی کامل	۲۵ (۷۳/۵)	۵ (۵۵/۵)	۱۹ (۶۳/۳)	۹ (۶۹/۲)	۰/۳۰۸
بهبودی ناقص	۸ (۲۳/۵)	۲ (۲۲/۲)	۷ (۲۳/۳)	۳ (۲۳/۰)	۰/۱۴۲
مرگ	۱ (۲/۹)	۱ (۱۱/۱)	۱ (۳/۳)	۱ (۷/۶)	۰/۳۱۲
عود	۵ (۱۴/۷)	۱ (۱۱/۱)	۴ (۱۳/۳)	۲ (۱۵/۳)	۰/۷۸۸

M: Methylated; U: Unmethylated; FAB: French-American-British

به ترتیب ۳ و ۲ نفر دارای هایپرمتیلاسیون در پروموتور ژن‌های SFRP۱ و SFRP۲ بودند. هیچ گونه ارتباط معنی‌داری بین هایپرمتیلاسیون پروموتور دو ژن SFRP۱ و SFRP۲ در بیماران با و بدون متیلاسیون و بهبودی کامل پس از درمان القایی مشاهده نشد.

### بحث

مسیر سیگنال‌دهی Wnt/ $\beta$ -catenin در فرایندهایی نظیر تکثیر، مورفولوژی، حرکت، تعیین سرنوشت سلول و رشد ارگان‌ها نقش دارد (۱۴). اختلال در مسیر سیگنال‌دهی Wnt/ $\beta$ -catenin سبب رشد و تکثیر سلول‌های توموری و همچنین کاهش آپوپتوز آن‌ها می‌شود (۱۵-۱۴). نقش مسیر سیگنال‌دهی Wnt در بقا، تکثیر و تمایز سلول‌های بنیادی خون‌ساز، سبب به وجود آمدن این فرضیه شده است که نقص در این مسیر سیگنال‌دهی، ممکن است در پاتوژنز لوسمی‌ها نقش داشته باشد (۱۶). SFRP یک پروتئین سرکوب‌کننده تومور می‌باشد که به وسیله‌ی اتصال به پروتئین Wnt مانع از اتصال آن به گیرنده‌اش یعنی Vnt-frizzled receptor می‌شود و در نتیجه باعث غیر فعال شدن مسیر سیگنال‌دهی Wnt می‌گردد. از این رو بین متیلاسیون ژن‌های آنتاگونیست Wnt و فعال شدن مسیر سیگنال‌دهی Wnt در تومورهای توپر و لوسمی‌ها ارتباط وجود دارد (۱۷، ۱۵). متیلاسیون نابه‌جای ژن‌های سرکوب‌کننده‌ی تومور یکی از شایع‌ترین حوادث ژنتیکی در اکثر سرطان‌های انسانی می‌باشد (۱۹-۱۸).

در مطالعه‌ی حاضر، وضعیت متیلاسیون پروموتور دو ژن SFRP۱ و SFRP۲ در ۴۳ بیمار مبتلا به

فراوانی هایپرمتیلاسیون پروموتور دو ژن SFRP۱ و SFRP۲ در بیماران مبتلا به AML در زمان تشخیص به ترتیب ۳۰/۲۳ درصد (۱۳ نفر از ۴۳ بیمار) و ۲۰/۹ درصد (۹ نفر از ۴۳ بیمار) بود. همچنین ۳۲/۲ درصد بیماران در زمان تشخیص (۱۳ نفر از ۴۳ بیمار) برای هر دو ژن SFRP۱ و SFRP۲ متیله بودند (جدول ۲).

متیلاسیون نابه‌جای این دو ژن در تمام زیر گروه‌های FAB-AML این مطالعه شامل M۰، M۱، M۲، M۴ و M۵ به جز زیر گروه M۶ دیده شد. هایپرمتیلاسیون SFRP۱ (P = ۰/۰۲۸) و SFRP۲ (P = ۰/۰۰۴) در ارتباط با زیر گروه FAB-M۰ مشاهده شد (جدول ۲). هیچ گونه ارتباط معنی‌داری بین هایپرمتیلاسیون پروموتور ژن‌های SFRP۱ و SFRP۲ با پارامترهای بالینی بیماران شامل سن، شمارش پلاکت و گلبول‌های سفید مشاهده نشد (جدول ۲). از ۴۳ بیمار ۶ نفر دچار عود شده بودند که از این بین، ۲ نفر (۴/۶ درصد) برای پروموتور ژن SFRP۱ و ۱ نفر (۲/۳ درصد) برای پروموتور ژن SFRP۲ هایپرمتیله بودند. هیچ گونه ارتباط معنی‌داری بین هایپرمتیلاسیون پروموتور دو ژن SFRP۱ و SFRP۲ با عود بیماران مشاهده نشد.

همچنین اطلاعات مربوط به پاسخ به درمان ۳۸ نفر (۸۸/۳۷ درصد) از بیماران موجود بود. از این تعداد، ۲۸ نفر (۷۵/۶۷ درصد) پس از درمان القایی وارد فاز بهبودی کامل شدند که از این تعداد به ترتیب ۹ و ۵ نفر دارای هایپرمتیلاسیون در پروموتور ژن‌های SFRP۱ و SFRP۲ بودند. ۱۰ نفر (۲۴/۳۳ درصد) از بیماران مقاوم به درمان القایی بودند و وارد فاز بهبودی نشده بودند که از این تعداد،

Wnt از طریق متیلاسیون پروموتور ژن SFRP۱، سبب مقاومت بیماران مبتلا به CML به درمان با ایماتینیب از طریق مهار اثر ایماتینیب بر روی مسیر سیگنال‌دهی BCR-ABL می‌شود (۲۷).

Wang و همکاران در مطالعه‌ای نشان دادند که متیلاسیون ژن‌های SFRP در بیماران مبتلا به MDS (Myelodysplastic syndrome) با پیش‌آگهی بد بیماران و بقای کمتر آن‌ها در ارتباط می‌باشد (۱۷). در این مطالعه هیچ گونه ارتباطی بین هایپرمتیلاسیون این ژن‌ها و عوامل پیش‌آگهی دهنده‌ی مرسوم در AML مانند سن و شمارش گلبول‌های سفید مشاهده نشد. همچنین هیچ گونه ارتباط معنی‌داری بین متیلاسیون این ژن‌ها و دیگر پارامترهای بالینی مانند جنس بیماران، شمارش پلاکتی و غلظت هموگلوبین مشاهده نشد که ممکن است در صورت افزایش حجم نمونه، ارتباط دیده شود. در مطالعه‌ای که توسط Hou و همکاران انجام گرفت، نشان داده شد که بیشترین هایپرمتیلاسیون مهار کننده‌های مسیر سیگنال‌دهی Wnt در زیر گروه M۰ و کمترین آن در زیر گروه M۱ صورت می‌پذیرد (۲۸).

نتایج مطالعه‌ی حاضر نیز نشان داد که متیلاسیون نابه‌جای این دو ژن در تمام زیر گروه‌های FAB-AML (French-American-British- Acute myeloid leukemia) این مطالعه شامل M۰، M۱، M۲، M۴ و M۵ به جز M۶ اتفاق می‌افتد. همچنین بیشترین هایپرمتیلاسیون SFRP۱ ( $P = ۰/۰۲۸$ ) و کمترین SFRP۲ ( $P = ۰/۰۰۴$ ) در زیر گروه M۰ و کمترین هایپرمتیلاسیون SFRP۲ ( $P = ۰/۹۱۹$ ) و SFRP۲ ( $P = ۰/۹۳۶$ ) به ترتیب در زیر گروه‌های M۴ و M۱ صورت می‌پذیرد. بهبودی کامل بعد از درمان القایی

AML در زمان تشخیص بیماری و در ۲۵ نمونه‌ی طبیعی خون محیطی مورد بررسی قرار گرفت. نتایج نشان داد که هایپرمتیلاسیون پروموتور ژن‌های SFRP۱ و SFRP۲ به ترتیب با فراوانی ۳۰/۲۳ درصد (۱۳ نفر از ۴۳ بیمار) و ۲۰/۹ درصد (۹ نفر از ۴۳ بیمار) در بیماران مبتلا به AML در زمان تشخیص بیماری اتفاق می‌افتد. در حالی که هیچ کدام از نمونه‌های طبیعی، متیلاسیون را در ناحیه‌ی پروموتوری این دو ژن نشان ندادند.

Veek و همکاران نشان دادند که در سرطان سینه، SFRP۱ دچار تغییرات اپی‌ژنتیک از جمله متیلاسیون می‌شود که حتی با پیش‌آگهی بد در بیماران نیز در ارتباط می‌باشد (۲۰-۲۱). Cooper و همکاران بعد از تحقیقاتشان پیشنهاد کردند که روی SFRP۱ نو ترکیب ممکن است یک استراتژی درمانی جدید برای سرطان‌هایی باشد که بیان SFRP۱ در آن‌ها مهار شده است (۲۲). همچنین متیلاسیون SFRP۲ به عنوان یکی از اهداف اپی‌ژنتیکی در سرطان‌هایی از جمله سرطان کولون (۲۳)، سرطان ازوفاجوس (۱۳)، سرطان مثانه (۹)، سرطان معده (۲۴-۲۵)، سرطان کبد (۲۶) و سرطان ریه (۱۲) نشان داده شده است.

مطالعه‌ی حاضر نیز مانند سایر مطالعات نشان داد که این دو ژن از اهداف اپی‌ژنتیک در بیماران مبتلا به AML هستند که پس از متیلاسیون غیر فعال می‌شوند، از این رو متیلاسیون این دو ژن ممکن است در شروع بیماری نقش داشته باشد. متیلاسیون ژن‌های SFRP در بدخیمی‌های هماتولوژیک نیز نشان داده شده است؛ به طوری که Pehlivan و همکاران نشان دادند که فعال شدن مسیر سیگنال‌دهی



همچنین در این مطالعه ارتباط معنی‌داری بین متیلاسیون ژن‌های ۱ SFRP و ۲ SFRP با یافته‌های بالینی بیماران مانند سن، جنس، شمارش گلبول‌های سفید و پلاکت‌ها و بهبودی کامل پس از درمان القایی مشاهده نشد. از این رو متیلاسیون این ژن‌ها تنها عامل مرتبط با بیماری نیست؛ بلکه حوادث مولکولی دیگری نیز دخیل می‌باشند. با این وجود، پیشنهاد می‌شود مطالعات وسیع‌تری با تعداد نمونه‌های بیشتر، جهت مشخص شدن نقش هایپرمتیلاسیون پروموتور ژن‌های SFRP در پاتوژنز AML و همچنین سایر بدخیمی‌های هماتولوژیک صورت پذیرد.

### تشکر و قدردانی

از معاونت تحقیقات و فناوری دانشگاه علوم پزشکی تهران که هزینه‌ی اجرای این مطالعه را تأمین نمود، قدردانی می‌گردد.

در ۶۰-۸۰ درصد بیماران زیر ۶۰ سال مبتلا به AML، مشاهده می‌شود. بهبودی کامل به حضور کمتر از ۵ درصد بلاست در مغز استخوان و اصلاح شمارش سلول‌های خونی (شمارش نوتروفیل بیشتر از ۱۰۰۰ سلول در میکرولیتر، شمارش پلاکت بیشتر از ۱۰۰۰۰۰ سلول در میکرولیتر، هموگلوبین بیشتر از ۱۰ گرم در دسی‌لیتر و عدم حضور بلاست در خون محیطی) تعریف می‌شود. همچنین سلول‌اریته‌ی مغز استخوان بیشتر از ۲۰ درصد با شواهدی از خون‌سازی هر سه رده‌ی سلولی، باید وجود داشته باشد (۲۹).

در مطالعه‌ی حاضر، هیچ‌گونه ارتباط معنی‌داری بین هایپرمتیلاسیون پروموتور ژن‌های ۱ SFRP و ۲ SFRP و بهبودی کامل پس از درمان القایی مشاهده نشد و میزان پاسخ به درمان در بیماران با و بدون هایپرمتیلاسیون یکسان بود.

### References

1. Lowenberg B, Downing JR, Burnett A. Acute myeloid leukemia. *N Engl J Med* 1999; 341(14): 1051-62.
2. Parkin D, Whelan S, Ferlay J, Teppo L, Thomas D. Cancer incidence in five continents. Vol 3. Lyon, France: IARC Scientific Publications; 2002. p. 155.
3. Jost E, Schmid J, Wilop S, Schubert C, Suzuki H, Herman JG, et al. Epigenetic inactivation of secreted Frizzled-related proteins in acute myeloid leukaemia. *Br J Haematol* 2008; 142(5): 745-53.
4. Klaus A, Birchmeier W. Wnt signalling and its impact on development and cancer. *Nat Rev Cancer* 2008; 8(5): 387-98.
5. Jamieson CH, Ailles LE, Dylla SJ, Muijtjens M, Jones C, Zehnder JL, et al. Granulocyte-macrophage progenitors as candidate leukemic stem cells in blast-crisis CML. *N Engl J Med* 2004; 351(7): 657-67.
6. Paul S, Dey A. Wnt signaling and cancer development: therapeutic implication. *Neoplasia* 2008; 55(3): 165-76.
7. Jones SE, Jomary C. Secreted Frizzled-related proteins: searching for relationships and patterns. *Bioessays* 2002; 24(9): 811-20.
8. Logan CY, Nusse R. The Wnt signaling pathway in development and disease. *Annu Rev Cell Dev Biol* 2004; 20: 781-810.
9. Marsit CJ, Karagas MR, Andrew A, Liu M, Danaee H, Schned AR, et al. Epigenetic inactivation of SFRP genes and TP53 alteration act jointly as markers of invasive bladder cancer. *Cancer Res* 2005; 65(16): 7081-5.
10. Bovolenta P, Esteve P, Ruiz JM, Cisneros E, Lopez-Rios J. Beyond Wnt inhibition: new functions of secreted Frizzled-related proteins in development and disease. *J Cell Sci* 2008; 121(Pt 6): 737-46.
11. Miller SA, Dykes DD, Polesky HF. A simple salting out procedure for extracting DNA from human nucleated cells. *Nucleic Acids Res* 1988; 16(3): 1215.
12. Huang ZH, Li LH, Yang F, Wang JF. Detection of aberrant methylation in fecal DNA as a molecular screening tool for colorectal cancer



- and precancerous lesions. *World J Gastroenterol* 2007; 13(6): 950-4.
13. Zou H, Molina JR, Harrington JJ, Osborn NK, Klatt KK, Romero Y, et al. Aberrant methylation of secreted frizzled-related protein genes in esophageal adenocarcinoma and Barrett's esophagus. *Int J Cancer* 2005; 116(4): 584-91.
  14. Huang J, Zhang YL, Teng XM, Lin Y, Zheng DL, Yang PY, et al. Down-regulation of SFRP1 as a putative tumor suppressor gene can contribute to human hepatocellular carcinoma. *BMC Cancer* 2007; 7: 126.
  15. Fodde R, Smits R, Clevers H. APC, signal transduction and genetic instability in colorectal cancer. *Nat Rev Cancer* 2001; 1(1): 55-67.
  16. Mikesch JH, Steffen B, Berdel WE, Serve H, Muller-Tidow C. The emerging role of Wnt signaling in the pathogenesis of acute myeloid leukemia. *Leukemia* 2007; 21(8): 1638-47.
  17. Wang H, Fan R, Wang XQ, Wu DP, Lin GW, Xu Y, et al. Methylation of Wnt antagonist genes: a useful prognostic marker for myelodysplastic syndrome. *Ann Hematol* 2013; 92(2): 199-209.
  18. Egger G, Liang G, Aparicio A, Jones PA. Epigenetics in human disease and prospects for epigenetic therapy. *Nature* 2004; 429(6990): 457-63.
  19. Nakamoto D, Yamamoto N, Takagi R, Katakura A, Mizoe JE, Shibahara T. Detection of microsatellite alterations in plasma DNA of malignant mucosal melanoma using whole genome amplification. *Bull Tokyo Dent Coll* 2008; 49(2): 77-87.
  20. Veeck J, Bektas N, Hartmann A, Kristiansen G, Heindrichs U, Knuchel R, et al. Wnt signalling in human breast cancer: expression of the putative Wnt inhibitor Dickkopf-3 (DKK3) is frequently suppressed by promoter hypermethylation in mammary tumours. *Breast Cancer Res* 2008; 10(5): R82.
  21. Veeck J, Geisler C, Noetzel E, Alkaya S, Hartmann A, Knuchel R, et al. Epigenetic inactivation of the secreted frizzled-related protein-5 (SFRP5) gene in human breast cancer is associated with unfavorable prognosis. *Carcinogenesis* 2008; 29(5): 991-8.
  22. Cooper SJ, von Roemeling CA, Kang KH, Marlow LA, Grebe SK, Menefee ME, et al. Reexpression of tumor suppressor, sFRP1, leads to antitumor synergy of combined HDAC and methyltransferase inhibitors in chemoresistant cancers. *Mol Cancer Ther* 2012; 11(10): 2105-15.
  23. Suzuki H, Gabrielson E, Chen W, Anbazhagan R, van EM, Weijnenberg MP, et al. A genomic screen for genes upregulated by demethylation and histone deacetylase inhibition in human colorectal cancer. *Nat Genet* 2002; 31(2): 141-9.
  24. Fukui T, Kondo M, Ito G, Maeda O, Sato N, Yoshioka H, et al. Transcriptional silencing of secreted frizzled related protein 1 (SFRP 1) by promoter hypermethylation in non-small-cell lung cancer. *Oncogene* 2005; 24(41): 6323-7.
  25. Qi J, Zhu YQ, Luo J, Tao WH. Hypermethylation and expression regulation of secreted frizzled-related protein genes in colorectal tumor. *World J Gastroenterol* 2006; 12(44): 7113-7.
  26. Muller HM, Oberwalder M, Fiegl H, Morandell M, Goebel G, Zitt M, et al. Methylation changes in faecal DNA: a marker for colorectal cancer screening? *Lancet* 2004; 363(9417): 1283-5.
  27. Pehlivan M, Sercan Z, Sercan HO. sFRP1 promoter methylation is associated with persistent Philadelphia chromosome in chronic myeloid leukemia. *Leuk Res* 2009; 33(8): 1062-7.
  28. Hou HA, Kuo YY, Liu CY, Lee MC, Tang JL, Chen CY, et al. Distinct association between aberrant methylation of Wnt inhibitors and genetic alterations in acute myeloid leukaemia. *Br J Cancer* 2011; 105(12): 1927-33.
  29. Smith M, Barnett M, Bassan R, Gatta G, Tondini C, Kern W. Adult acute myeloid leukaemia. *Crit Rev Oncol Hematol* 2004; 50(3): 197-222.